



УДК 577.113.3:542.95:547.425.7

S,X-АЦЕТАЛИ В ХИМИИ НУКЛЕОЗИДОВ. I. СИНТЕЗ 2'- И 5'-O-МЕТИЛТИОМЕТИЛЬНЫХ ПРОИЗВОДНЫХ РИБОНУКЛЕОЗИДОВ

© 2000 г. А. Е. Печенов*, С. Г. Завгородний#, В. И. Швец*, А. И. Мирошников

Институт биоорганической химии им. М.М. Шемякина и Ю.А. Овчинникова РАН,
117871, Москва, ГСП-7, ул. Миклухо-Маклая, 16/10;

*Московская государственная академия тонкой химической технологии им. М.В. Ломоносова,
117571, Москва, просп. Вернадского, 86

Поступила в редакцию 06.12.99 г. Принята к печати 14.01.2000 г.

2'- и 5'-O-Метилтиометильные производные рибонуклеозидов получены действием смеси диметилсульфоксида, уксусного ангидрида и уксусной кислоты на избирательно защищенные нуклеозиды.

Ключевые слова: рибонуклеозиды; метилтиометилирование; тиоацетали; Пуммерера перегруппировка.

Перегруппировка Пуммерера [1] в ее исходном варианте, предусматривающем использование системы диметилсульфоксид–уксусный ангидрид, в течение десятилетий применяется для получения α -замещенных сульфидов с удовлетворительными выходами. Механизм перегруппировки был изучен Джонсоном и Филлипсом [2].

Из приведенной последовательности превращений (схема 1) следует, что добавление в реакционную смесь спиртов является удобным методом синтеза O,S-ацеталей.

Известно, что тиоацетали обладают обширными синтетическими возможностями (изменение валентного состояния серы, замена алкилтиогруппы на иные остатки и введение заместителей в α -положение к атому серы [2, 3]), вследствие чего были разработаны методы введения и удаления O-метилтиометильной группы [4–7]. В ряду нуклеозидов из O-метилтиометильных производных впервые были описаны 2'-O-производные аденоцина и гуанозина, полученные как побочные продукты в реакции окисления гидроксильных групп избирательно защищенных нуклеозидов смесью диметилсульфоксид–уксусный ангидрид [8]. Аналогично 3'-O-метилтиометил-5'-дезокси-5'-метилтиоаденоцин был получен при окислении защищенного метилтиоаденоцина в тех же условиях. Выход этого побочного продукта колеблется от 2 до 23% в зависимости от качества диметилсульфоксида и времени реакции [9].

Применение смеси диметилсульфоксид–уксусный ангидрид для синтеза O-метилтиометильных производных представителей ациклических аналогов нуклеозидов, относящихся к третичным

спиртам [10], приводит к хорошим результатам, поскольку такие соединения не окисляются в данных условиях. Ранее применительно к углеводам было показано, что добавление уксусной кислоты к смеси диметилсульфоксид–уксусный ангидрид подавляет окисление первичных и вторичных спиртовых групп и делает процесс их O-метилтиометилирования преобладающим [5].

Применение системы диметилсульфоксид–уксусный ангидрид–уксусная кислота для получения метилтиометильных производных по углеводному остатку нуклеозидов (в том числе рибо-ряда) было впервые осуществлено в рамках выполнения работ по синтезу α -замещенных O-алкилнуклеозидов [11–13]. Позже этим методом был получен 2'-O-метилтиометилуридин с выходом 55% [14].

Альтернативным способом O-метилтиометилирования является использование системы диметилсульфид–перекись бензоила [7], которая в ряду нуклеозидов впервые была применена в синтезе 3'-O-метилтиометильных производных нуклеозидов дезокси-ряда [15, 16]. Недавно этим методом получены 2'-O-метилтиометильные производные нуклеозидов [17]. Было также показано, что получение 5'-O-метилтиометильных производных нуклеозидов дезокси-ряда возможно обоими методами [13, 16]. Однако в работах [11–13, 17] не приводятся детали эксперимента и характеристики продуктов.

В данной работе получены и охарактеризованы 2'-O- и 5'-O-метилтиометильные производные рибонуклеозидов.

Рассматриваемые производные могут иметь важное значение в связи со следующими фактами. Было показано, что полиривонуклеотиды с 2'-O-метилтиометильным заместителем обладали повышенной устойчивостью к расщеплению нуклеазами [17]. Среди 5'-модифицированных нукле-

Автор для переписки (тел.: (095) 330-72-47; e-mail: kou@ibch.siobc.ras.ru).

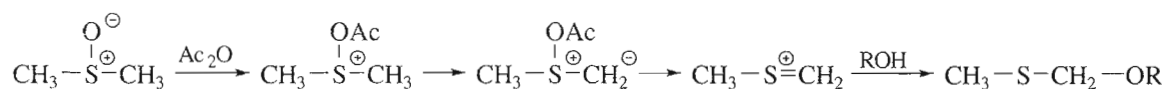
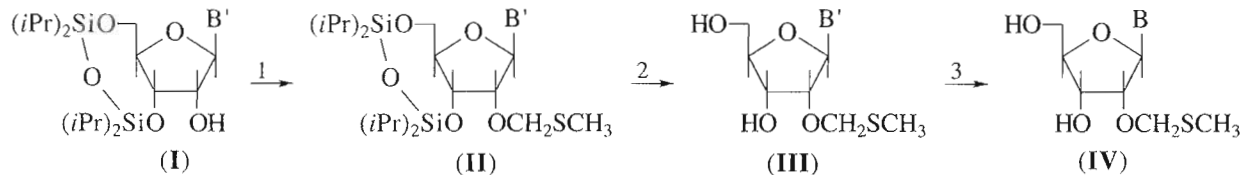


Схема 1.

а: $B' = \text{BzAde}$, $B = \text{Ade}$; в: $B' = \text{BzCyt}$, $B = \text{Cyt}$;б: $B' = \text{IbGua}$, $B = \text{Gua}$; г: $B' = B = \text{Ura}$.1 – DMSO/Ac₂O/AcOH (53 : 36 : 11 по объему); 2 – Bu₄N⁺F⁻/THF; 3 – NH₃/MeOH.

Ib – изобутирил; THF – тетрагидрофуран.

Схема 2.

озидов обнаружены биологически активные соединения с противовирусной, противоартиритной, противопаразитарной и иммуносупрессивной активностью. Большинство из них – либо аналоги одного из ключевых компонентов системы биологического трансметилирования – *S*-аденозилметионина (например, *S*-аденозил-*L*-гомоцистеин, 5'-дезокси-5'-изобутилиoadенозин, 5'-дезокси-5'-метилтиоаденозин), либо ингибиторы ферментов этой системы. Большое внимание уделяется поиску биологически активных веществ в этой группе [9, 18–21]. 5'-*O*-Метилтиометильные производные рибонуклеозидов, в частности 5'-*O*-метилтиометиладенозин, благодаря своим синтетическим возможностям могут рассматриваться как

предшественники целого ряда потенциальных биологически активных веществ.

Синтез 2'-*O*-метилтиометильных производных рибонуклеозидов проводили согласно схеме 2. Защищенные по 3',5'-спиртовым группам сахарного остатка [22] и аминогруппе основания (кроме урацила в (Іг)) нуклеозиды (Іа)–(Іг) были переведены в соответствующие 2'-*O*-метилтиометильные производные действием смеси диметилсульфоксида, уксусного ангидрида и уксусной кислоты при комнатной температуре в течение 60 ч. Выходы соединений (ІІа)–(ІІг) составили 60–70%, что свидетельствует о том, что метилтиометилирование 2'-гидроксильной функции рибонуклеозидов данным методом так же эффективно, как и

Таблица 1. Выходы и физико-химические характеристики 2'-*O*-метилтиометильных производных нуклеозидов*

Соединение	Исходное	Загрузка		Выход, %	Т. пл., °C (метанол)	УФ-спектр ^{3*} , λ_{\max} , нм (ϵ)	Масс-спектр
		мг	ммоль				
(ІІг)	(Іг)	274	0.5	79	174.5–175.5	261.8(9800) 261.8(9700) 261.2(7400)	304.4 (M) ⁺ 327.2 ($M + \text{Na}$) ⁺ 343.2 ($M + \text{K}$) ⁺
(ІІа)	(Іа)	166	0.38	87	143–143.5	257.2(14600) 259.6(14500) 259.4(14800)	328.1 ($M + \text{H}$) ⁺ 330.2 ($M + 3\text{H}$) ⁺ 350.1 ($M + \text{Na}$) ⁺
(ІІб)	(Іб)	214	0.52	82	>220	257.0(11700) 253.2(13400)	344.1 ($M + \text{H}$) ⁺ 366.2 ($M + \text{Na}$) ⁺
(ІІв)	(Ів)	105	0.26	83	151.5–152.5 ^{2*}	265.0(11300) 279.8(12700) 270.6(8900)	382.2 ($M + \text{K}$) ⁺ 304.1 ($M + \text{H}$) ⁺ 326.1 ($M + \text{Na}$) ⁺
						271.4(8900)	342.1 ($M + \text{K}$) ⁺

* Соединение (ІІг) выделено по методу А десилирования, соединения (ІІа)–(ІІв) – по методу А аммонолиза (см. "Эксперимент. часть").

^{2*} Метанол-эфир.

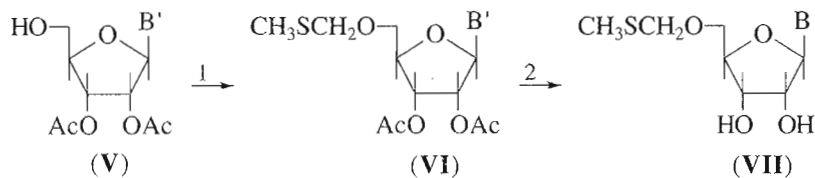
^{3*} Для каждого соединения приведены параметры УФ-спектра при pH 1, pH 7 и pH 13.

Таблица 2. Спектры ^1H -ЯМР 2'-*O*-метилглиометильных производных рибонуклеозидов

Соединение	H6 или H8 ($J_{6,5}$)	H5 или H2	OCH_2S ($J_{a,6}$)	SCH_3	H1' ($J_{1',2'}$)	H2' ($J_{2',3'}$)	H3' ($J_{3',4'}$)	H4'	H5' ($J_{H5'a}\text{H}5'; J_{4',5'a}, J_{4',5'_b}$)	Прочие
(IIIa)	8.78c	8.32c	5.08; 5.02дд (12.0)	2.21c	6.13c	4.70д (4.5)	4.73дд (8.0)	4.19M	4.26; 4.05дд (12.5; 1.0; 2.5)	9.05 (NH); 7.50–8.10 (Ph); 1.20–0.90 (<i>iPr</i>)
(IIIb)	7.97c	–	5.03; 4.97дд (11.8)	2.15c	5.83c	4.50–4.42M	4.12M	4.24; 3.98дд (13.0; 1.0; 2.2)	11.97, 8.31(2 × NH); 2.65, 1.26, 1.23 (H, CH_3 (lb)); 1.20–0.90 (<i>iPr</i>)	
(IVb)	8.36д (7.5)	Нал. Ph	5.15; 5.08дд (11.8)	2.21c	5.85c	4.40д (6.0)	4.27–4.18M	4.30; 4.02дд (12.0)	8.70 (NH); 7.5–7.9 (Ph); 1.20–0.90 (<i>iPr</i>)	
(IVг)	7.91д (8.3)	5.69д	5.0c	2.18c	5.75c	4.37д (4.5)	4.25дд (8.5)	4.16M	4.27; 4.0дд (13.0; 1.0; 3.5)	8.60 (NH); 1.20–0.90 (<i>iPr</i>)
(IIIa)	8.77c	8.75c	4.80; 4.69дд (11.6)	1.81c	6.20д (6.0)	4.87пг (5.0)	4.40M	4.05M	3.73; 3.62M (11.9)	11.25 (NH); 7.5–8.1 (Ph); 5.41 (3'-OH); 5.24 (5'-OH)
(IIIб)	8.28c	–	4.76; 4.66дд (11.6)	1.85c	5.96д (6.7)	4.67пг* (4.9)	4.33M	3.99M	3.65; 3.59дд (11.9; 4.0; 4.0)	12.1, 11.65 (2 × NH); 5.32 (3'-OH); 5.15 (5'-OH); 2.78, 1.40 (lb)
(IIIв)	8.54д (7.0)	7.36д	4.94; 4.84дд (11.5)	2.07c	5.90д (2.7)	4.22дд (5.0)	4.13M	3.95M	3.79; 3.63M (11.9)	11.25 (NH); 7.5–8.1 (Ph); 5.22 (3'-OH); 5.27 (5'-OH)
(IIIг)	7.94д (8.1)	5.67д	4.81; 4.66дд (11.5)	1.99c	5.88д (5.5)	4.25пг (5.0)	4.13M	3.89M	3.64; 3.57M (12.3)	11.35 (NH); 5.25 (3'-OH); 5.18 (5'-OH)
(IVa)	8.38c	8.13c	4.73; 4.63дд (11.6)	1.76c	6.02д (6.3)	4.81дд (5.1)	4.33M	4.01M	3.68; 3.56дд (11.9; 4.4; 6.5)	7.34 (NH ₂); 5.52 (5'-OH); 5.33 (3'-OH)
(IVб)	7.97c	–	4.76; 4.66дд (11.5)	1.88c	5.85д (6.4)	4.61дд (4.9)	4.29M	3.95M	3.64; 3.57дд (11.9; 3.4; 3.6)	10.59 (NH); 6.45 (NH ₂); 5.25 (3'-OH); 5.13 (5'-OH)
(IVв)	7.92д (7.5)	5.73д	4.88; 4.76дд (11.3)	2.04c	5.87д (3.9)	4.15пг (5.2)	4.09M	3.86M	3.70; 3.59M (11.5)	7.16 (NH ₂); 5.12 (3'-OH + 5'-OH)

Спектры соединений (IIIa)–(IVг) сняты в CDCl_3 ; соединений (IIIa)–(IIIe), (IVa)–(IVf) в $\text{DMSO}-d_6$. Приведены химические свидиги (δ , м. д.) и константы спин-спинового взаимодействия (J). Соотнесение сигналов сделано на основании КССБ. Интегральные интенсивности соответствуют числу указанных протонов.

* Наложение OCH_2S . Вид сигналов: с – синглет; д – дублет; п – псевдотриплет; дд – дублет дублетов; пт – псевдотриплет; дцд – дублет дублетов дублетов дублетов; м – мультиплет. Сигналы Ph, *iPr*, H (lb) – мультиплеты; NH, NH_2 – уширенные синглеты; $3'-\text{OH}, \text{CH}_3$ (lb) – дублеты; 5'-OH – триплет.



а: B' = BzAde, B = Ade; в: B' = BzCyt, B = Cyt;

б: B' = IbGua, B = Gua; г: B' = B = Ura.

1 – DMSO/Ac₂O/AcOH (53 : 36 : 11 по объему); 2 – NH₃/MeOH.

Схема 3.

при использовании системы диметилсульфид–пирокись бензоила [17], где указаны выходы 55–70%. Далее последовало удаление силоксацильной защитной группы с помощью фторида тетрабутиламмония в абсолютном тетрагидрофуране [8] и снятие ацильной защитной группы гетерооснований в соединениях (IIIa)–(IIIb) в метанольном растворе аммиака.

Физико-химические характеристики синтезированных производных (Ia)–(Ig), (IIa)–(IIg) и (IVa)–(IVb) соответствуют их структуре (табл. 1, 2). В ¹Н-ЯМР-спектрах полученных 2'-O-метилтиометильных производных (табл. 2) присутствуют сигналы протонов CH₃S-группы – синглет с химическим сдвигом 2.2–1.7 м. д., и OCH₂S-группы – дублет дублетов (в силу диастереотопности указанных протонов) либо синглет с химическим сдвигом 5.1–4.6 м. д. Сигнал 2'-протона имеет вид дублета дублетов (псевдотриплета) или дублета, если J_{1',2'} 0. Вид сигналов и значения химических сдвигов протонов сахарного остатка и нуклеинового основания варьируют в зависимости от защитных групп в молекуле нуклеозида.

Получение 5'-O-метилтиометильных производных рибонуклеозидов было осуществлено как указано на схеме 3. Нуклеозиды (Va)–(Vg), защищенные ацильными группами по 2'- и 3'-гидроксилам сахарного остатка и эндоциклической аминогруппе основания, переводили в их 5'-O-метилтиометильные производные (VIa)–(VIg) действием смеси диметилсульфоксида, уксусного ангидрида и уксусной кислоты как указано выше с выходами 50–70% (см. “Эксперимент. часть”).

После деблокирования нуклеозидов (VIa)–(VIg) аммонолизом получали 5'-O-метилтиометильные производные (VIIa)–(VIIg).

Структуры синтезированных соединений (VIa)–(VIg), (VIIa)–(VIIg) убедительно подтверждаются их физико-химическими характеристиками (табл. 3, 4)

В спектрах ¹Н-ЯМР полученных соединений (VIa)–(VIg) и (VIIa)–(VIIg) (табл. 4) присутствуют сигналы протонов CH₃S- и OCH₂S-групп. Сигналы остальных протонов совпадают или незначительно сдвинуты относительно соответствующих сигналов исходных нуклеозидов.

Таблица 3. Выходы и физико-химические характеристики 5'-O-метилтиометильных производных нуклеозидов

Соединение	Исходное	Загрузка		Метод выделения*	Выход, %	Т. пл., °C (метанол)	УФ-спектр ^{4*} , λ _{макс} , нм (ε)	Масс-спектр
		мг	ммоль					
(VIIa)	(VIa)	361	0.7	Б	81	137–138	257.4 (14600) 259.4 (14800) 259.6 (15000)	328.2 (M + H) ⁺ 350.2 (M + Na) ⁺
(VIIb)	(VIb)	200	0.402	А	75	223–225 ^{2*}	256.6 (12100) 253.6 (13200) 265.2 (11300)	344.2 (M + H) ⁺ 366.1 (M + Na) ⁺
(VIIb)	(VIb)	290	0.586	Б	80	98–99 ^{3*}	279.4 (12900) 270.8 (8800) 272.0 (8800)	304.2 (M + H) ⁺ 326.2 (M + Na) ⁺ 342.1 (M + K) ⁺
(VIIg)	(VIg)	210	0.54	Б	77	147–148	261.6 (10000) 261.8 (9700) 262.2 (7500)	304.4 (M) ⁺ 327.2 (M + Na) ⁺ 343.2 (M + K) ⁺

* После аммонолиза (см. “Эксперимент. часть”).

^{2*} Метанол–вода.

^{3*} Метанол–эфир.

^{4*} Для каждого соединения приведены параметры УФ-спектра при pH 1, pH 7 и pH 13.

Таблица 4. ^1H -ЯМР-спектры 5'-*O*-метилтиометильных производных рибонуклеозидов

Соединение	H6 или H8 ($J_{6,5}$)	H5 или H2	OCH_2S ($J_{\text{a},\text{b}}$)	SCH ₃	H1' ($J_{1',2}$)	H2' ($J_{2',3}$)	H3' ($J_{3',4}$)	H4'	H5' ($J_{\text{H}5\text{a},\text{H}5\text{b}};$ $J_{4',5\text{a}}; J_{4',5\text{b}}$)	Прочие
(VIIa)	8.79c	8.49c	4.81; 4.70дд (11.6)	2.06с	6.45д (6.5)	5.83дд (5.2)	5.59дд (2.6)	4.47м	3.88; 3.85дд (10.8; 2.7; 2.6)	9.62 (NH); 2.21, 2.19 (2 × CH ₃ CO); 7.5–8.1 (Ph)
(VIIg)	7.93c	—	4.73; 4.69дд (11.6)	2.08с	6.01д (5.8)	5.95пт (5.2)	5.70дд (3.8)	4.39м	3.87; 3.76дд (10.7; 3.2; 3.7)	12.1, 8.8 (2 × NH); 2.64, 1.28 (1b); 2.19, 2.17 (2 × CH ₃ CO)
(VIIb)	8.24д (6.0)	Нал. Ph	4.77; 4.71дд (11.5)	2.08с	6.36д (4.6)	5.45–5.37м	5.37дд (2.2)	4.37м	3.88; 3.79дд (10.8; 2.1; 2.1)	8.6 (NH); 7.5–7.9 (Ph); 2.2, 2.1 (2 × CH ₃ CO)
(VIIr)	7.71д (8.1)	5.75д	4.74; 4.68дд (11.5)	2.05с	6.24д (7.0)	5.30дд (5.4)	5.37дд (2.2)	4.30м	3.79; 3.77дд (10.8; 2.2; 2.2)	8.53 (NH); 2.18, 2.12 (2 × CH ₃ CO)
(VIIa)	8.30с	8.15c	4.70; 4.69дд (11.3)	2.06с	5.90д (5.3)	4.60м* (5.0)	4.16м* (4.2)	4.06м	3.75; 3.63дд (10.5; 3.8; 5.0)	7.28 (NH ₂); 5.52 (2'-OH); 5.30 (3'-OH)
(VII6)	7.85c	—	4.70c	2.07с	5.70д (5.5)	4.41м	4.07м	4.00м	3.69; 3.60дд (10.7; 3.7; 4.9)	6.48 (NH ₂); 5.47 (2'-OH); 5.24 (3'-OH); 10.64 (NH)
(VIIb)	7.69д (7.4)	5.74д	4.72; 4.71дд (11.5)	2.10с	5.78д (3.8)	3.96–3.85м (2.9; 4.2)	3.96–3.85м (2.9; 4.2)	3.97м	3.74; 3.66дд (10.6; 2.3; 4.2)	7.14 (NH ₂); 5.35 (2'-OH); 5.11 (3'-OH)
(VIIr)	7.71д (8.5)	5.64д	4.72с	2.09с	5.77д (5.5)	4.03м	3.93м	3.97м	3.71; 3.60дд (11.0; 3.5; 4.0)	11.35 (NH); 5.40 (2'-OH); 5.11 (3'-OH)

Спектры соединений (VIIa)–(VIIr) сняты в CDCl₃, соединений (VIIa)–(VIIr) в DMSO-*d*₆. Приведены химические сдвиги (δ , м. д.) и константы спин-спинового взаимодействия (J). Соотнесение сигналов сделано на основании КССВ и характера сигналов. Интегральные интенсивности соответствуют числу указанных протонов.

* КССВ определены на основе эксперимента по обмену с ²H₂O. Вид сигналов: с – синглет; п – дублет; дд – дублет/дублет; пт – псевдодигиплет; пп – синглет; НЭ, NH₂ – унитренные синглеты; CH₃CO – синглет; 2'-ОН, 3'-ОН, CH₃ – мультиплет. Сигналы Ph – мультиплет. Сигналы Ph – мультиплет. Сигналы Ph – мультиплет. Сигналы Ph – мультиплет.

Соединения (**IIIг**), (**IVа**)–(**IVв**) и (**VIIа**)–(**VIIг**) охарактеризованы методами масс-спектрометрии и УФ-спектрометрии (соответственно табл. 1 и 3). УФ-спектры производных свидетельствуют о незастронутости нуклеинового основания в ходе реакции.

Таким образом, нами было показано, что метилтиометилирование с применением смеси диметилсульфоксида, уксусного ангидрида и уксусной кислоты является достаточно эффективным методом получения 2'- и 5'-*O*-метилтиометильных производных рибонуклеозидов.

ЭКСПЕРИМЕНТАЛЬНАЯ ЧАСТЬ

Температуры плавления неисправленные. ТСХ проводили на пластинках Silufol UV 254 (Kavalier, ЧССР) и Kieselgel 60 F₂₅₄ (Merck, Германия), а колоночную хроматографию – на силикагеле L 40/100 (Kavalier, ЧССР). В работе использовали нуклеозиды, триметилхлорсилан, дауэкс 50W × 8-200 (Sigma, США), 1,3-дихлор-1,1,3,3-тетраизопропилдисилоксан, тригидрат тетрабутиламмонийфторида (Fluka, Швейцария); диметилсульфоксид (Merck, ФРГ). Остальные реагенты и растворители – отечественные.

УФ-спектры снимали на спектрофотометре Shimadzu UV-160 (Япония), ¹Н-ЯМР-спектры – на спектрометре Bruker DRX-500 (ФРГ), а масс-спектры (метод MALDI TOF) – на спектрометре Vision 2000 (Thermo Bioanalysis Corp., Англия).

Выходы и физико-химические характеристики полученных соединений приведены в табл. 1–4.

Нуклеозиды (**Iа**)–(**Iг**) синтезировали как описано в работе [22]. Соединения (**Vа**)–(**Vг**) получали с использованием диметокситритильной защиты для 5'-гидроксила по аналогии с работами [23, 24].

Метилтиометилирование гидроксильных групп рибонуклеозидов (общая методика). К 1 ммоль защищенного нуклеозида (**Iа**)–(**Iг**), (**Vа**)–(**Vг**) добавляли смесь 2.15 мл уксусного ангидрида, 0.65 мл уксусной кислоты и 3.15 мл диметилсульфоксида. Смесь выдерживали 3 сут при 20°C (контроль ТСХ в системе хлороформ–метанол, 9.5 : 0.5). По завершении реакции смесь выливали в 30 мл охлажденного 10% водного раствора Na₂CO₃ при перемешивании. По окончании выделения газа водный слой экстрагировали хлороформом (3 × 20 мл). Объединенные хлороформные экстракты сушили безводным Na₂SO₄, упаривали в вакууме водоструйного и затем масляного насосов. Полученный сухой остаток очищали колоночной хроматографией на силикагеле, постепенно повышая концентрацию метанола в хлороформе от 0 до 2%. Необходимые фракции упаривали и продукт в ряде случаев перекристаллизовывали. Таким образом получены следующие соединения.

N⁶-Бензоил-2'-*O*-метилтиометил-5',3'-*O*-(1,1,3,3-тетраизопропилдисилокса-1,3-диил)аденозин (IIа**):** из 1.63 г (2.66 ммоль) нуклеозида (**Iа**), выход 1.27 г (70.9%) в виде стеклоподобной пенистой массы.

N²-Изобутирил-2'-*O*-метилтиометил-5',3'-*O*-(1,1,3,3-тетраизопропилдисилокса-1,3-диил)гуанозин (IIб**):** из 1.86 г (3.12 ммоль) нуклеозида (**IIа**), выход 1.25 г (61%), т. пл. 129–130°C (метанол).

N⁴-Бензоил-2'-*O*-метилтиометил-5',3'-*O*-(1,1,3,3-тетраизопропилдисилокса-1,3-диил)цитидин (IIв**):** из 1.43 г (2.42 ммоль) нуклеозида (**IIв**), выход 1.08 г (68.6%) в виде стеклоподобной пенистой массы.

2'-*O*-Метилтиометил-5',3'-*O*-(1,1,3,3-тетраизопропилдисилокса-1,3-диил)уридин (IIг**):** из 1.82 г (3.74 ммоль) нуклеозида (**IIг**), выход 1.23 г (60.1%), т. пл. 146–146.5°C (метанол).

N⁶-Бензоил-2',3'-ди-*O*-ацетил-5'-*O*-метилтиометиладенозин (VIIа**):** из 3.356 г (7.37 ммоль) нуклеозида (**Vа**), выход 1.98 г (52.2%) в виде светло-желтой стеклоподобной массы.

2',3'-Ди-*O*-ацетил-5'-*O*-изобутирил-5'-*O*-метилтиометилгуанозин (VIIб**):** из 1.31 г (2.97 ммоль) нуклеозида (**Vб**), выход 805 мг (54.5%) в виде светло-желтой стеклоподобной массы.

N⁶-Бензоил-2',3'-ди-*O*-ацетил-5'-*O*-метилтиометилцитидин (VIIв**):** из 917 мг (2.13 ммоль) нуклеозида (**Vв**), выход 735 мг (70.4%), т. пл. 160–161°C (метанол).

2',3'-Ди-*O*-ацетил-5'-*O*-метилтиометилуридин (VIIг**):** из 1.11 г (3.384 ммоль) нуклеозида (**Vа**), выход 0.66 г (50.3%) в виде светло-желтой стеклоподобной массы.

Десилирование метилтиометильных производных нуклеозидов проводили следующим образом. К раствору 1 ммоль нуклеозида (**IIа**)–(**IIг**) в 5 мл сухого тетрагидрофурана добавляли 2.2 мл 1 М раствора тетрабутиламмонийфторида в тетрагидрофуране. Смесь выдерживали 1 сут при 20°C, упаривали, очищали хроматографией на силикагеле и после упаривания необходимых фракций продукт перекристаллизовывали (метод А). Если образующийся продукт не удалось перекристаллизовать, смесь после десилирования упаривали, остаток растворяли в водном метаноле и пропускали через слой дауэкса 50W в NH₄⁺-форме. Элюят упаривали и продукт очищали колоночной хроматографией на силикагеле (метод Б). Таким образом были получены указанные ниже производные.

N⁶-Бензоил-2'-*O*-метилтиометиладенозин (IIIа**):** из 337 мг (0.5 ммоль) нуклеозида (**IIа**) (метод А), выход 180 мг (83.4%), т. пл. 151–152°C (1% метанол в хлороформе).

N²-Изобутирил-2'-*O*-метилтиометилгуанозин (IIIб**):** из 400 мг (0.61 ммоль) нуклеозида (**IIб**) (метод Б), выход 232 мг (92.1%), аморфная светлая масса.

N⁴-Бензоил-2'-*O*-метилтиометилцитидин (IIIв**):** из 325 мг (0.5 ммоль) нуклеозида (**IIв**) (метод А), выход 162 мг (79.5%), т. пл. 159–160°C (хлороформ–гексан).

2'-O-Метилтиометилуридин (IIIг): из 274 мг (0.5 ммоль) нуклеозида (IIг) (метод А), выход 120 мг (78.9%) (температура плавления приведена в табл. 1).

Удаление ацильных защитных групп. Раствор 1 ммоль нуклеозида (IIIа)–(IIIв), (VIа)–(VIг) в 5 мл полунасыщенного раствора аммиака в метаноле (метанол насыщали газообразным аммиаком при 0°C и разбавляли в 2 раза) выдерживали 1 сут (в случае нуклеозидов (IIIб) и (VIб) – 2 сут) при 20°C, после чего смесь упаривали и продукт перекристаллизовывали (метод А) либо очищали хроматографией на силикагеле, постепенно повышая концентрацию метанола в хлороформе от 5 до 10% (метод Б). Детали эксперимента приведены в табл. 1, 3.

СПИСОК ЛИТЕРАТУРЫ

1. Pummerer R. // Ber. 1910. B. 43. S. 1401–1412.
2. Johnson C.R., Phillips W.G. // J. Am. Chem. Soc. 1969. V. 91. P. 682–687.
3. Общая органическая химия // Ред. Н.К. Кочетков, Э.Е. Нифантьев. М.: Химия, 1983. С. 187–200.
4. Corey E.J., Bock M.G. // Tetrahedron Lett. 1975. № 38. P. 3269–3270.
5. Pojer P.M., Angyal S.J. // Aust. J. Chem. 1978. V. 31. P. 3067–3068.
6. Suzuki K., Inanaga J., Yamaguchi M. // Chem. Lett. 1979. № 10. P. 1277–1278.
7. Medina J.C., Salomon M., Kyler K.S. // Tetrahedron Lett. 1988. V. 29. P. 3773–3776.
8. Hansske F., Madej D., Robins M.J. // Tetrahedron. 1984. V. 40. P. 125–135.
9. Gavagnin M., Sodano G. // Nucleosides Nucleotides. 1989. V. 8. P. 1319–1324.
10. Hsu L.-Y., Wise D.S., Kucera L.S., Drach J.C., Townsend L.B. // J. Org. Chem. 1992. V. 57. P. 3354–3358.
11. Oivanen M., Viinamäki T., Zavgorodny S., Poliansky M., Azhayev A., Van Aerschot A., Herdewijn P., Lönnberg H. // Coll. Czech. Chem. Comm. 1990. V. 55. P. 17–20.
12. Zavgorodny S., Poliansky M., Kriukov V., Oksman P., Hakala H., Lönnberg H., Van Aerschot A., Herdewijn P., Azhayev A. // Nucl. Acids Res. 1991. V. 19. P. 295.
13. Zavgorodny S., Poliansky M., Besidsky E., Kriukov V., Sanin A., Pokrovskaya M., Gurskaya G., Lönnberg H., Azhayev A. // Tetrahedron Lett. 1991. V. 32. P. 7593–7596.
14. Bizdena E., Rozners E., Strömberg R. // Coll. Czech. Chem. Comm. 1996. V. 61. S283–S286.
15. Veeneman G.H., van der Marel G.A., van den Elst H., van Boom J.H. // Rec. Trav. Chim. Pays-Bas. 1990. V. 109. P. 449–451.
16. Veeneman G.H., van der Marel G.A., van den Elst H., van Boom J.H. // Tetrahedron. 1991. V. 47. P. 1547–1562.
17. Karpeisky A., Gonzales C., Burgin A.B., Usman N., Beigelman L. // Nucleosides Nucleotides. 1997. V. 16. P. 955–958.
18. Moffat J.G. // Nucleotide Analogues. Chemistry, Biology, and Medical Application / Ed. R.T. Walker, E. De Clercq, F. Eckstein. New York, London: Plenum Press, 1978. P. 79–81.
19. Serafinowsky P., Dorland E., Balzarini J., De Clercq E. // Nucleosides Nucleotides. 1995. V. 14. P. 545–547.
20. Yuan C.-S., Liu S., Wnuk S.F., Robins M.J., Borchart R.T. // Nucleosides Nucleotides. 1995. V. 14. P. 439–447.
21. Robins M.J., Wnuk S.F., Yang X., Yuan C.-S., Borchart R.T., Balzarini J., De Clercq E. // J. Med. Chem. 1998. V. 41. P. 3857–3864.
22. van Boom J.H., Wreesmann C.T.J. // Oligonucleotide Synthesis: A Practical Approach / Ed. M.J. Gait. Oxford; Washington: IRL Press, 1984. P. 153–182.
23. Lohrmann R., Khorana H.G. // J. Am. Chem. Soc. 1964. V. 86. P. 4188–4194.
24. Kenner G.W., Todd A.R., Webb R.F., Weymouth F.J. // J. Chem. Soc. 1954. P. 2288–2295.

The S,X-Acetals in Nucleoside Chemistry.

I. The Synthesis of 2'- and 5'-O-Methylthiomethylribonucleosides

A. E. Pechenov*, S. G. Zavgorodny***, V. I. Shvets*, and A. I. Miroshnikov**

*Lomonosov State Academy of Fine Chemical Technology, pr. Vernadskogo 86, Moscow, 117571 Russia

**Shemyakin-Ovchinnikov Institute of Bioorganic Chemistry, Russian Academy of Sciences,
ul. Miklukho-Maklaya 16/10, GSP-7 Moscow, 117871 Russia

Ribonucleoside 2'- and 5'-methylthiomethyl derivatives were synthesized from selectively protected nucleosides by the action of a dimethyl sulfoxide–acetic anhydride–acetic acid mixture.

Key words: ribonucleosides, methylthiomethylation, thioacetals, Pummerer's rearrangement

To whom correspondence should be addressed; phone +7 (095) 330-7247; e-mail: kou@ibch.siobc.ras.ru.

For the full text of English translation of this article, see *Russian Journal of Bioorganic Chemistry*, 2000, vol. 26, no. 5. It is also available (free) in PDF format through the Web Site <http://www.maik.rssi.ru/>.